

一种新的调频条纹分析算法

母国光 梁俊忠 王君庆 方志良

(南开大学现代光学研究所)

提 要

本文提出一种无需滤波处理的调频条纹分析算法, 该算法与傅里叶技术相比具有省时、便于进行快速、实时位相测量等优点。

关键词: 调频条纹, 实时计算。

一、引 言

干涉术是研究许多问题的重要手段, 如何分析干涉图是人们一直潜心研究的课题, 电子学、电子计算机技术的应用使条纹分析有了新的突破, 条纹自动分析使得位相测量开始向快速、实时、高精度发展。通常人们着眼于分析直接反映空间位相分布的等值线条纹 (contour fringes), 条纹图像处理技术^[1]由计算机进行条纹加强、识别, 但由于等值线条纹分析存在 2π 不确定性和极值位置不易确定等局限, 一般测量精度较低。移相干涉术^[2]用一组有不同相对相移的等值线干涉图来计算位相分布, 虽然改善了测量精度, 但实验条件很难满足。72年 Ichioka 等^[3]首次提出在测量位相里引入一变化幅度较大的线性因子, 获得所谓的调频条纹, 作为条纹的调频因子记录下并通过电子学滤波处理求出待测位相, 近来 Takeda 等报道了调频条纹的数字滤波分析^[4], 调频条纹分析的优点是实验简单、处理容易, 但由于滤波处理计算量很大, 对大数据量处理费时很多, 难于实现快速、实时处理。本文提出一种无需滤波处理的调频条纹分析算法, 利用条纹的调频特性, 确定调频条纹的极值位置, 经预处理消除引入的线性位相因子, 求得待测位相。这种算法省去了耗时的滤波过程, 计算量大降低, 便于进行快速、实时处理。

二、理论分析

调频条纹的照度分布 $r(x)$ 为^[5]

$$r(x) = a(x) = a(x) + b(x) \cos[kx \sin \theta + \varphi(x)], \quad (1)$$

定义(1)式中 $\varphi(x) = 0$ 的条纹为参考条纹

$$r(x) = a(x) + b(x) \cos[kx \sin \theta], \quad (2)$$

式中 $kx \sin \theta$ 为引入的线性因子, 一般 $kx \sin \theta$ 比 $\varphi(x)$ 变化快得多, $a(x)$, $b(x)$ 比 $\cos[kx \sin \theta]$ 变化慢得多, 可以认为局部区域 $a(x)$, $b(x)$ 为常数, 照度分布 $r(x)$ 接近于理想正弦分布, 其周期为 $\Delta(2\pi/k \sin \theta)$ 。调频条纹比参考条纹多了一项测量位相 $\varphi(x)$, 但 $\varphi(x)$ 一般比

$kx \sin \theta$ 变化小得多, 局部区域仍可视作正弦分布, 由 $\varphi(x)$ 调节局部区域正弦分布的周期。假设全空间所有相邻极大(极小)光强之间调相量限定为

$$\{\delta\varphi\}_{\max} = \pm m2\pi, \quad 0 < m < 1 \quad (3)$$

调频条纹的周期 T 满足

$$(1-m)\Delta \leq T \leq (1+m)\Delta, \quad (4)$$

若 $m \leq (1/2)$, 有 $(\Delta/2) \leq T \leq (3\Delta/2)$, 这说明在长度 Δ 范围内, 调频条纹必有且仅有一个极值(极大或极小), 或一极值对(一个极大和一个极小)。由此可知, 调频条纹由一个极大(极小)起, 在长度 Δ 范围内必有且仅有一个极小(极大)。这样, 若以参考条纹的周期 Δ 为判据可以很容易确定调频条纹的极值位置, 确定 I_{\max} , I_{\min} 后, 对局部区域有

$$2a = I_{\max} + I_{\min}, \quad 2b = I_{\max} - I_{\min}. \quad (5)$$

预处理消去 $a(x)$ 、 $b(x)$ 的影响,

$$\begin{aligned} \psi'(x) &= [\dot{\psi}(x) - a(x)]/b(x) = [\dot{\psi}(x) + \dot{\psi}(x) - 2b]/2a \\ &= \cos[kx \sin \theta - \varphi(x)], \end{aligned} \quad (6)$$

得理想调频条纹 $\psi'(x)$ 。定义 $\Phi(x) = kx \sin \theta - \varphi(x)$, 并取 $\psi'(x)$ 的反函数得

$$\alpha(x) = \cos^{-1}[\psi'(x)] = \cos^{-1}[\cos \Phi(x)], \quad (7)$$

$$\therefore d\alpha = -\frac{\sin \Phi}{|\sin \Phi|} d\Phi,$$

$$\therefore d\Phi = \begin{cases} -d\alpha, & \Phi \in (\pi, 2\pi), \\ d\alpha, & \Phi \in (0, \pi), \end{cases} \quad (8)$$

因此, 在线性因子 $kx \sin \theta$ 增加的方向上, 由极大到下一个极小有 $d\Phi = d\alpha$, 由极小到下一个极大有 $d\Phi = -d\alpha$ 。

若以 Δ 为判据: 由极大(极小)找下一个极小(极大), 对此极值对间数据预处理消除 $a(x)$ 、 $b(x)$ 的影响, 根据(7)式求出 $\alpha(x)$, 由 $\alpha(x)$ 结合(8)式便可求出总位相 $\Phi(x)$, 消去已知线性位相因子

$$\varphi(x) = kx \sin \theta - \Phi(x), \quad (9)$$

得待求空间位相 $\varphi(x)$ 。我们把这种无需滤波的调频条纹分析算法称为直接求解算法。

对照传统的等值线条纹直接求解方法: 确定条纹极值位置, 估算条纹级次, 插值计算全空间位相分布, 调频条纹直接求解算法有本质的改进, 具有 $a(x)$ 、 $b(x)$ 影响较小, 极值判断准确, 计算无 2π 不确定性等优点, 可以预计测量精度提高很多。

调频条纹直接求解算法用预处理代替了傅里叶滤波分析, 在计算过程中若不考虑每周计算 $2a$ 、 $2b$, 由(6)式知每点仅需三次加法, 一次除法运算。考虑到傅里叶技术不连续位相的修正, 与直接求解算法中的极值位置寻找时的逻辑判断相抵, 以及傅里叶技术计算 Φ

$$\Phi(x) = \text{Im}\{\ln r'(x)\} = \tan^{-1}(\text{Im}\{r'(x)\}/\text{Re}\{r'(x)\}), \quad (10)$$

式中 $\text{Im}\{\}$ 和 $\text{Re}\{\}$ 分别表示取复数的虚部和实部, 反正切函数宗量需进行一次除法运算, 直接求解算法刚好省去了整个滤波处理过程。假设处理数据为 N 。用基 2 快速傅里叶变换实现一次变换需要 A 次乘法、 B 次加法运算^[5]

$$A = N \log_2 N, \quad B = (3N/2) \log_2 N. \quad (11)$$

考虑到一次滤波需实现一对正逆交换, 并假设 $N = 1024$, 每点滤波处理需进行 20 次乘法、

30 次加法运算, 远比预处理计算量大, 因此大数据量处理费时很多。傅里叶技术的优点是实验简单、处理容易, 配以大型计算机实现快速处理是不可能的, 本文介绍的直接求解算法省去了耗时的滤波过程, 计算量降低一个数量级, 而且具有处理数据个数任意, 每点位相计算仅与附近一个周期内数据有关等特点, 为微机实现快速调频条纹分析提供了方便。

三、实验位相测量

为了验证调频条纹直接求解算法, 我们对一块透明玻璃物不均匀性进行了测量。实验中用 He-Ne 激光器作为光源, 泰曼干涉仪作为干涉装置, 干涉图用胶片记录, 显微密度计数据采集。为了克服胶片非线性的影响, 采用预曝光方法把曝光量偏置到 $H-D$ 曲线线性区, 对照度为 $r(x)$ 的干涉图, 胶片记录的光密度

$$D(x) = D_0 + \gamma \log [E_0 + r(x)], \quad (12)$$

其中 γ 为 $H-D$ 曲线线性区斜率, E_0 为预置曝光量, 而且 D_0 、 γ 、 E_0 皆为常数。由 $D(x)$ 可得相对照度分布

$$r(x) = 10^{[D(x)-D_0]/\gamma}, \quad (13)$$

为了降低噪声, 我们选用颗粒度较低、 γ 值较大, 而且线性区较宽的天津缩微 2 全色负片记录干涉图, 图 1 为其标准处理条件下的 $H-D$ 曲线。

对一块透明玻璃物, 图 2 为其等值线干涉图, 图 3 为所谓的调频条纹。其上半部为无物参考条纹, 下半部为调频条纹。不失一般性我们演示一下单行位相测量。实验中对参考条纹和调频条纹平行各扫描一行, 由参考条纹数据计算出 Δ , 图 4 为调频条纹的一行数据, 应用直接求解算法求出图 4 区域位相分布, 计算结果如图 5 所示。参考点 $\varphi(300)$ 由傅里叶技术求出, 调频条纹取样间距 $30 \mu\text{m}$ 。

由图 5 的计算结果可以看出, 直接求解算法调频条纹分析无 2π 不确定性, 能测量小于 $2\pi/15$ 的位相细节, 因此比等值线条纹直接求解算法优越得多。直接求解算法省去了耗时的滤波过程, 但由于无窄带滤波作用, 位相计算结果不平滑, 通过与傅里叶技术测量结果比

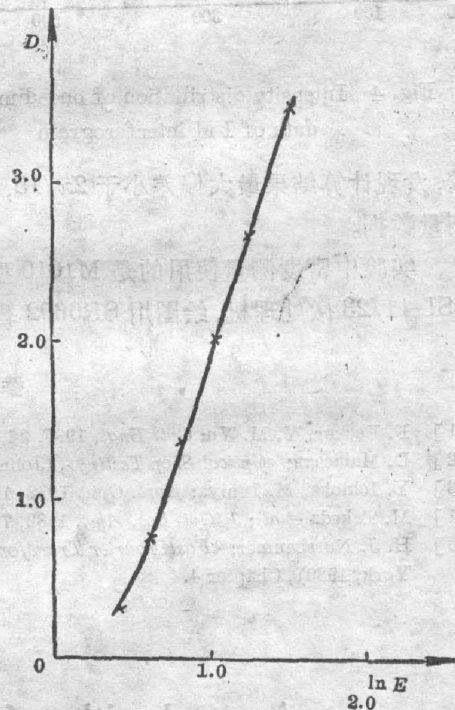


Fig. 1 $H-D$ curve of Tianjin Suwei films

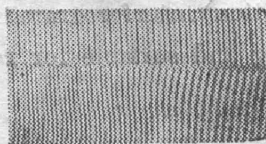


Fig. 2 Conventional contour fringes showing the thickness of a piece of glass



Fig. 3 FM fringes

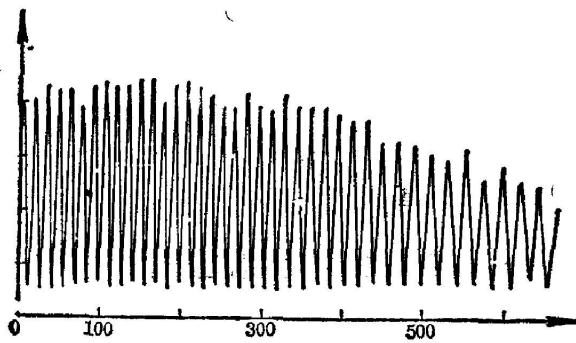


Fig. 4 Intensity distribution of one-dimensional data of FM interferogram

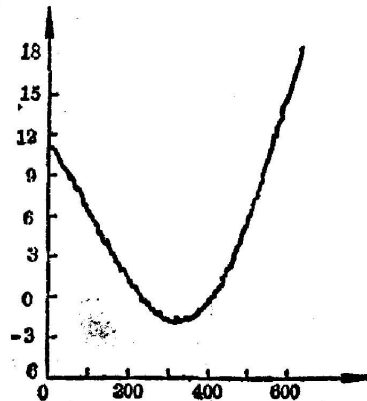


Fig. 5 Measurement phase distribution obtained by calculation

较,发现计算结果最大偏差小于 $2\pi/15$, 所以测量精度高达 $\lambda/15$, 因此仍能获得十分满意的测量数据。

实验中密度测量使用的是 M1010 型 Perkin-Elmer 显微密度计, 数据处理用的是一台 LSI-11/23 微处理器, 绘图用 SR6602 智能绘图仪。

参 考 文 献

- [1] F. Becker, Y. M. Yu; *Opt. Eng.*, 1985, **24**, No. 3 (May), 429~434.
- [2] D. Malacara; *Optical Shop Testing*, (John Wiley & Sons Inc., 1978), Chapter 13.
- [3] Y. Ichioka, M. Inniya; *Appl. Opt.*, 1972, **11**, No. 7 (Jul), 1507~1514.
- [4] M. Takeda *et al.*; *J. Opt. Soc. Am.*, 1982, **72**, No. 1 (Jan), 156~160.
- [5] H. J. Nussbaumer; *Fast Fourier Transform and Convolutions*, (Springer-Verlag, Berlin Heidelberg New York, 1980), Chapter 4.

A new algorithm of analysing FM interferogram

MU GUOSHANG, LIANG JUNZHONG, WANG JUNQING AND FANG ZHILIANG

(Institute of Modern Optics, Nankai University, Tianjin)

(Received 14 October 1986)

Abstract

A new algorithm of analysing FM (frequency modulation) interferogram is described. Compared with the Fourier method, it is time saving and suitable for real-time calculation.

Key Words: FM interferogram; real-time calculation.